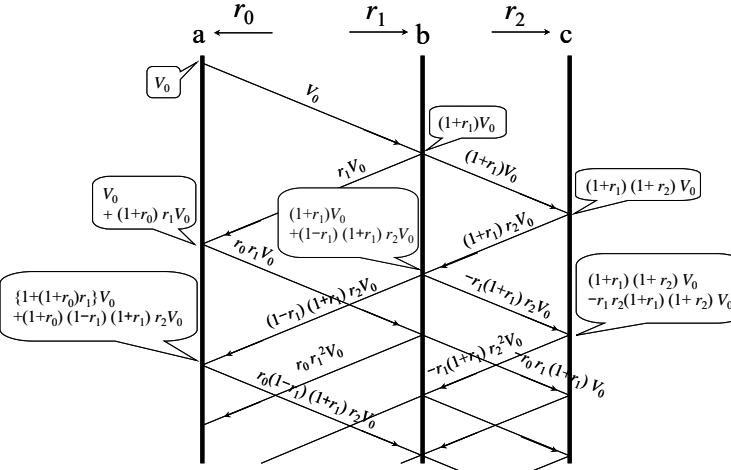
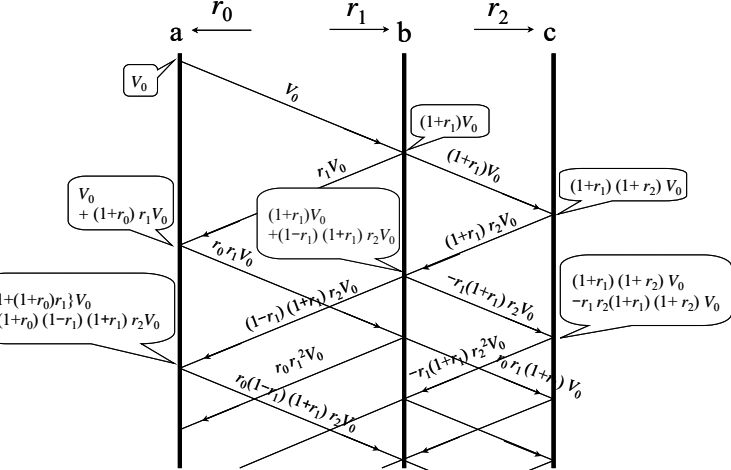
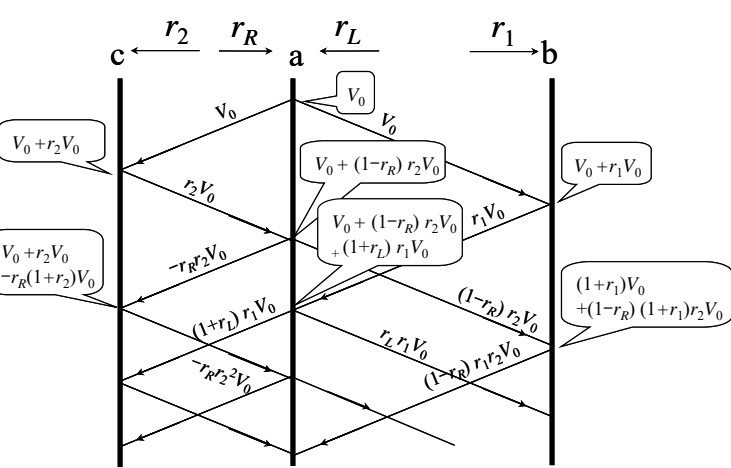
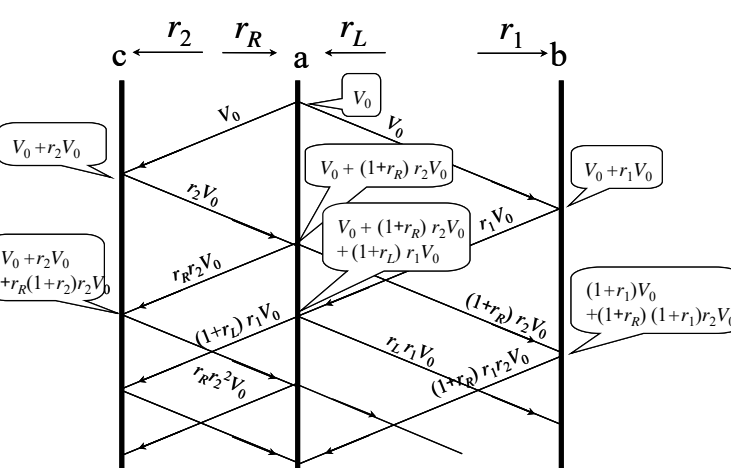


場所	誤	正	改版日
p.27 例題 2.3 終端電圧	1.5V	1.65V	2009.08.28
p.32 図 2.10 r_0 の係数(右下 1カ所)			2009.05.01
p.34 図 2.14 r_R の係数(数カ所)			2009.05.01
p.75 式(4.7) 3番目の式削除	$v_C = \frac{v_1 + v_2}{2}, i_C = \frac{i_1 + i_2}{2}, v_C = Z_C i_C$	$v_C = \frac{v_1 + v_2}{2}, i_C = \frac{i_1 + i_2}{2}$	2009.05.01
p.75 式(4.8) 3番目の式削除	$v_D = \frac{v_1 - v_2}{2}, i_D = \frac{i_1 - i_2}{2}, v_D = Z_D i_D$	$v_D = \frac{v_1 - v_2}{2}, i_D = \frac{i_1 - i_2}{2}$	2009.05.01
p.86 下から 10 行	線路 2 の右行波が近端で反射	線路 2 の右行波が遠端で反射	2016.09.15

場所	誤	正	改版日
p.86 最下行	v_{1R} が近端に到着	v_{1R} が遠端に到着	2016.09.15
p.87 2～3 行	この式は右行波を表しているから左行波によるクロストークの	この式は左行波を表しているから右行波によるクロストークの	2016.09.15
p.87 6 行	v_{1R} が近端で反射したときに右行波 $r_2 v_{1R}$ として	v_{1R} が遠端で反射したときに左行波 $r_2 v_{1R}$ として	2016.09.15
p.87 9 行	右行波による右行波へのクロストーク	左行波による左行波へのクロストーク	2016.09.15
p.90 式(4.60) { }内の係数間違い	$V_2(s) = \frac{1}{\zeta} \left\{ \frac{d^2 V_1}{dx^2} - \left(\frac{s}{u} \right)^2 V_1 \right\}$ $= A_1(s) e^{-\frac{x}{u_c} s} + A_2(s) e^{\frac{x}{u_c} s} - A_3(s) e^{-\frac{x}{u_D} s} - A_4(s) e^{\frac{x}{u_D} s}$	$V_2(s) = \frac{1}{\zeta} \left\{ \left(\frac{u}{s} \right)^2 \frac{d^2 V_1}{dx^2} - V_1 \right\}$ $= A_1(s) e^{-\frac{x}{u_c} s} + A_2(s) e^{\frac{x}{u_c} s} - A_3(s) e^{-\frac{x}{u_D} s} - A_4(s) e^{\frac{x}{u_D} s}$	2009.05.01
p.90 式(4.61) 最初の行右辺負号追加	$I_1(s) = \frac{1}{s(L^2 - L_m^2)} \left(L \frac{dV_1}{dx} - L_m \frac{dV_2}{dx} \right)$ $= \frac{A_1(s)}{Z_C} e^{-\frac{x}{u_c} s} - \frac{A_2(s)}{Z_C} e^{\frac{x}{u_c} s} + \frac{A_3(s)}{Z_D} e^{-\frac{x}{u_D} s} - \frac{A_4(s)}{Z_D} e^{\frac{x}{u_D} s}$	$I_1(s) = -\frac{1}{s(L^2 - L_m^2)} \left(L \frac{dV_1}{dx} - L_m \frac{dV_2}{dx} \right)$ $= \frac{A_1(s)}{Z_C} e^{-\frac{x}{u_c} s} - \frac{A_2(s)}{Z_C} e^{\frac{x}{u_c} s} + \frac{A_3(s)}{Z_D} e^{-\frac{x}{u_D} s} - \frac{A_4(s)}{Z_D} e^{\frac{x}{u_D} s}$	2009.05.01
p.98 式(4.70)	$-\frac{\partial}{\partial x} \begin{pmatrix} v_1 \\ v_2 \end{pmatrix} = \begin{pmatrix} L_1 + L_{13} & L_{12} \\ 2L_{12} & L_2 \end{pmatrix} \begin{pmatrix} i_1 \\ i_2 \end{pmatrix}$	$-\frac{\partial}{\partial x} \begin{pmatrix} v_1 \\ v_2 \end{pmatrix} = \frac{\partial}{\partial t} \begin{pmatrix} L_1 + L_{13} & L_{12} \\ 2L_{12} & L_2 \end{pmatrix} \begin{pmatrix} i_1 \\ i_2 \end{pmatrix}$	2016.09.15
p.98 式(4.71)	$-\frac{\partial}{\partial x} \begin{pmatrix} i_1 \\ i_2 \end{pmatrix} = \begin{pmatrix} C_1 + C_{13} & C_{12} \\ 2C_{12} & C_2 \end{pmatrix} \begin{pmatrix} v_1 \\ v_2 \end{pmatrix}$	$-\frac{\partial}{\partial x} \begin{pmatrix} i_1 \\ i_2 \end{pmatrix} = \frac{\partial}{\partial t} \begin{pmatrix} C_1 + C_{13} & C_{12} \\ 2C_{12} & C_2 \end{pmatrix} \begin{pmatrix} v_1 \\ v_2 \end{pmatrix}$	2016.09.15
p.126 9 行	式(5.24),式(5.25)の最初の	式(5.27),式(5.28)の最初の	2009.05.01
p.127 下から2 行	パターン間	パターン間	2016.09.15
p.131 7 行 分かりやすく文章を変更	したがって、図 6.1 に示すように、線路の分布容量と負荷の分布容量とが加算されて等価的な分布容量となる。 この結果、バスに分布的に接続される素子の入出力容量の影響によって特性インピーダンスが低下する。	したがって、例えば、図 6.1 に示すように、線路の分布容量 100pF/m と負荷の分布容量 350pF/m とが加算されて等価的な分布容量 450pF/m となる。 この結果、同図に示すように、特性インピーダンスが低下する。	2016.09.15

場所	誤	正	改版日
p.140 図 6.11 右下 「スタブ長ゼロ」追加			2009.05.01
p.141 5行「例」削除	Rambus インタフェースを解析例した	Rambus インタフェースを解析した	2019.04.02
p.161 式(7.45)左辺 $\sin \omega_1 \tau \rightarrow \sin \omega_2 \tau$	$\begin{pmatrix} \cos \omega \tau_1 & jZ_0 \sin \omega \tau_1 \\ j \frac{\sin \omega \tau_1}{Z_0} & \cos \omega \tau_1 \end{pmatrix} \begin{pmatrix} \cos \omega \tau_2 & jZ_0 \sin \omega \tau_2 \\ j \frac{\sin \omega \tau_2}{Z_0} & \cos \omega \tau_2 \end{pmatrix}$	$\begin{pmatrix} \cos \omega \tau_1 & jZ_0 \sin \omega \tau_1 \\ j \frac{\sin \omega \tau_1}{Z_0} & \cos \omega \tau_1 \end{pmatrix} \begin{pmatrix} \cos \omega \tau_2 & jZ_0 \sin \omega \tau_2 \\ j \frac{\sin \omega \tau_2}{Z_0} & \cos \omega \tau_2 \end{pmatrix}$	2009.05.01
p.163 式(7.49) 指数の肩 $\omega \rightarrow n\omega$	$c_n = \frac{T_w}{T} \times \frac{\sin \frac{n\omega T_w}{2}}{\frac{n\omega T_w}{2}} \times \frac{\sin \frac{n\omega t_r}{2}}{\frac{n\omega t_r}{2}} e^{-j\omega \frac{T_w + t_r}{2}}$	$c_n = \frac{T_w}{T} \times \frac{\sin \frac{n\omega T_w}{2}}{\frac{n\omega T_w}{2}} \times \frac{\sin \frac{n\omega t_r}{2}}{\frac{n\omega t_r}{2}} e^{-jn\omega \frac{T_w + t_r}{2}}$	2016.09.15
p.178 式(8.28) 上の段 E_0 が不要	$v(l, t) = v(0, t) \times (1 + r_2) \times \exp\left(-\frac{R}{2Z_0} l\right) E_0$	$v(l, t) = v(0, t) \times (1 + r_2) \times \exp\left(-\frac{R}{2Z_0} l\right)$	2016.09.15
p.182~p.184	表皮抵抗とグラウンドとの関係に考え違いがあった.	図 8.8 削除, 図 8.9~図 8.11 書き換え, その他修正加筆 本正誤表の巻末に添付	2016.09.15
p.194 8行	式(9.1)の右辺括弧内第1項が抵抗損であり,	式(9.1)の右辺括弧内第2項が抵抗損であり,	2009.08.28
p.196 脚注 27	有限の立ち上がり時間による	有限のパルス幅と立ち上がり時間とによる	2009.05.01
p.198 下から4行	図 9.5 のの 2.5Gbps	図 9.5 の 2.5Gbps	2009.05.01

場所	誤	正	改版日
p.209 図 9.21 差し替え			2009.05.01
p.219 式(付 3.2) サフィックス抜け $A(s) \rightarrow A_1(s)$	$I = \frac{1}{Z_0} \left\{ A(s)e^{-\frac{x}{u}} - A_2(s)e^{\frac{x}{u}} \right\}$	$I = \frac{1}{Z_0} \left\{ A_1(s)e^{-\frac{x}{u}} - A_2(s)e^{\frac{x}{u}} \right\}$	2016.09.15
p.222 付録 4		全面書き換え 本正誤表の巻末に添付	2009.05.01
p.223 最初の行	式(4.16)～式(4.19)の左行波を	式(4.11)～式(4.14)の左行波を	2016.09.15
p.225 最初の行	近端の基本式は	結合線路の基本式は	2016.09.15
p.226 2 行	サフスク “1” を	サフィックス “1” を	2020.02.16
p.232 式(付 8.3) 分母 引き算→足し算	$V_2 = \frac{1}{s^2(LC_m - L_m C)} \left\{ \frac{d^2 V_1}{dx^2} - s^2(LC + 2L_m C_m)V_1 \right\}$	$V_2 = \frac{1}{s^2(LC_m + L_m C)} \left\{ \frac{d^2 V_1}{dx^2} - s^2(LC + 2L_m C_m)V_1 \right\}$	2016.09.15

改版履歴

2009.05.01	初版
2009.08.28	02 版
2016.09.15	03 版
2019.04.02	04 版
2020.02.16	05 版